

Previsão de Fluxo de Tráfego Rodoviário com *Machine Learning*

Pedro Reis

*Escola de Engenharia
Universidade do Minho
Braga, Portugal*
PG59908@alunos.uminho.pt

Guilherme Pinto

*Escola de Engenharia
Universidade do Minho
Braga, Portugal*
PG60225@alunos.uminho.pt

João Azevedo

*Escola de Engenharia
Universidade do Minho
Braga, Portugal*
PG61693@alunos.uminho.pt

Luís Silva

*Escola de Engenharia
Universidade do Minho
Braga, Portugal*
PG60390@alunos.uminho.pt

Abstract—O presente relatório documenta o desenvolvimento de modelos de *Machine Learning* para a previsão multiclasse de fluxo de tráfego rodoviário na cidade do Porto, estruturado com a metodologia CRISP-DM. O estudo incidiu sobre um conjunto de dados históricos (2018-2019), abordando desafios críticos de preparação de dados, nomeadamente o preenchimento de valores em falta em variáveis meteorológicas, a transformação cíclica de atributos temporais e o severo desequilíbrio de classes, mitigado através da técnica de *Oversampling* SMOTE combinada com validação cruzada estratificada.

Foram implementadas e comparadas diversas famílias de algoritmos para aferir o equilíbrio entre viés e variância: desde modelos de referência lineares e não-lineares (*Logistic Regression*, *SVM*), passando por métodos de *Deep Learning* (Redes Neuronais Artificiais), arquiteturas de especialistas (*One-vs-Rest*, *Mixture of Experts*), até métodos de ensemble avançados (*Random Forest*, *XGBoost*, *Gradient Boosting*).

Os resultados demonstraram que a arquitetura de *Stacking* — integrando a heterogeneidade de cinco estimadores — obteve o melhor desempenho global, atingindo uma *accuracy* de 82% nos dados de validação. A robustez desta solução foi validada externamente através de uma competição na plataforma Kaggle, onde a consistência entre a métrica local, o *Public Score* e o *Private Score* confirmou a elevada capacidade de generalização do modelo com pouco *overfitting*. A análise de interpretabilidade (SHAP) validou a coerência física do sistema, identificando o diferencial de tempo acumulado como o fator preditor dominante, modulado contextualmente pela luminosidade e hora do dia.

Index Terms—*Machine Learning*, Previsão de Tráfego, CRISP-DM, Stacking, SMOTE, Classificação, Ensemble, Multiclass

I. INTRODUÇÃO

A. Contextualização

Este relatório apresenta o desenvolvimento de modelos de *Machine Learning* capazes de prever o fluxo de tráfego rodoviário, no âmbito da UC de Dados e Aprendizagem Automática.

O trabalho recorreu a um histórico de dados fornecido superior a um ano (entre 24 de julho de 2018 e 2 de outubro de 2019) para treinar e explorar diversas abordagens. O projeto integrou a participação numa competição na plata-

forma Kaggle, utilizada estratégicamente para a validação dos modelos, permitindo aferir a sua capacidade de generalização.

B. Metodologia

Entre as diferentes metodologias analisadas, a selecionada para a realização deste trabalho foi o CRISP-DM (*Cross Industry Standard Process for Data Mining*). Esta decisão fundamenta-se, primordialmente, no seu caráter iterativo, característica que se revela ideal para lidar com a complexidade e as constantes adaptações exigidas no desenvolvimento de modelos de *Machine Learning*.

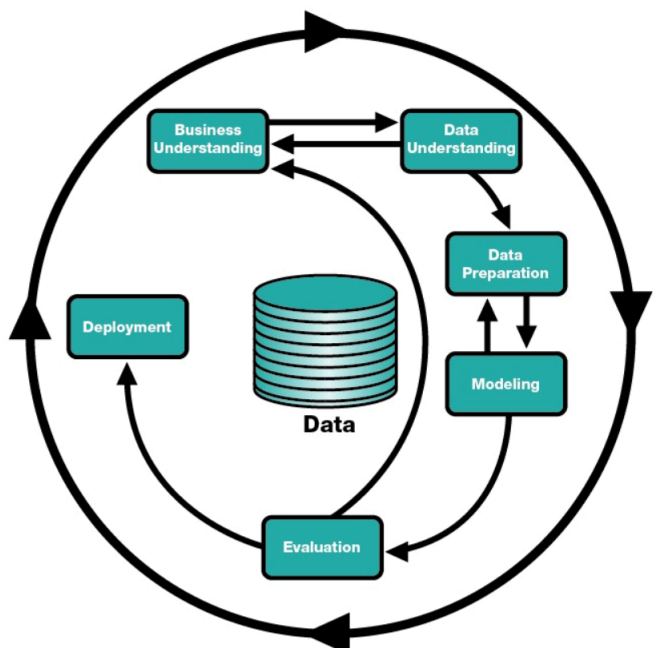


Fig. 1. Metodologia CRISP-DM

Seguindo a estrutura do CRISP-DM, o processo desenvolveu-se da seguinte forma:

- **Compreensão do negócio:** Estabelecimento dos objetivos a atingir com os modelos de previsão.
- **Compreensão dos dados:** Análise exploratória para entender a natureza das variáveis.
- **Preparação dos dados:** Limpeza e transformação dos dados para alimentar os algoritmos.
- **Modelação:** Criação e treino dos modelos.
- **Avaliação:** Análise das métricas de desempenho.

A última fase, correspondente à **Implementação**, não será abordada no âmbito estrito de colocação em produção, dado o contexto acadêmico do trabalho.

C. Estrutura do documento

O restante deste relatório organiza-se da seguinte forma, a Secção II detalha as especificidades do problema, enquanto a Secção III foca-se na caracterização dos dados através de análises uni-variada e multivariada.

Posteriormente, a Secção IV documenta as técnicas de tratamento de dados e *feature engineering* aplicadas. As arquiteturas dos algoritmos selecionados, bem como as respetivas configurações de treino, são descritas na Secção V. O documento encerra com a discussão comparativa dos desempenhos obtidos na Secção VI e a síntese das conclusões na Secção VII, seguindo-se a listagem das referências bibliográficas utilizadas no trabalho.

II. COMPREENSÃO DO NEGÓCIO

A. Enquadramento do Problema

O desafio central consiste na previsão precisa do fluxo de tráfego num intervalo temporal específico. A capacidade de antecipar congestionamentos não possui apenas valor técnico, mas também social, permitindo otimizar rotas de emergência, reduzir emissões poluentes e melhorar a qualidade de vida urbana através de uma gestão de tráfego proativa.

B. Objetivos Estratégicos

Para garantir o sucesso da solução, definiram-se os seguintes objetivos:

- **Extração de conhecimento:** Identificar os atributos que mais influenciam o fluxo rodoviário.
- **Excelência preditiva:** Desenvolver modelos que maximizem a *accuracy*.
- **Robustez e generalização:** Garantir que o modelo mantém a performance em cenários de tráfego atípicos evitando *overfitting*.
- **Validação competitiva:** Obter uma classificação de destaque no *ranking* da competição Kaggle como prova de eficácia técnica.

C. Entregáveis e Avaliação

Para cumprir os requisitos académicos e garantir a transparência do processo de desenvolvimento, o projeto estrutura-se nos seguintes componentes:

- **Relatório:** Documento que descreve a metodologia, a exploração de dados, as arquiteturas dos modelos e a análise crítica dos resultados obtidos.

- **Participação na competição:** Submissão de previsões na plataforma para aferição da métrica de *accuracy* e posicionamento no *ranking*.
- **Artefactos de software:** Pasta comprimida contendo o código-fonte, dados processados e instruções que permitem a reproduzibilidade integral de todos os passos e resultados apresentados.

III. COMPREENSÃO DOS DADOS

A. Descrição do conjunto de dados

O conjunto de dados utilizado neste projeto provém de registos reais de tráfego rodoviário na cidade do Porto. A estrutura de dados está organizada em dois componentes principais:

- **training_data.csv:** O conjunto de treino que inclui as variáveis independentes e a variável dependente.
- **test_data.csv:** O conjunto de teste que contém os mesmos atributos do ficheiro de treino, com a omissão da variável alvo.

B. Análise uni-variada

Nesta etapa, procedeu-se à caracterização isolada de cada atributo e da variável alvo, com o intuito de compreender a sua distribuição estatística e validar a integridade dos dados. Esta exploração é fundamental para identificar medidas de tendência central, avaliar a dispersão e detetar a presença de valores atípicos que possam comprometer a robustez dos modelos de aprendizagem.

AVERAGE_SPEED_DIFF

Descrição: Esta variável representa a diferença entre a velocidade média em condições de fluxo livre e a velocidade real observada. É o atributo que os modelos pretendem prever.

Tipo: Categórica ordinal.

Valores únicos: 5 (cinco).

Valores nulos: 0 (zero).

TABLE I QUANTIFICAÇÃO AVERAGE_SPEED_DIFF		
Categoria	Frequência	Percentagem
None	2200	32.3%
Low	1419	20.8%
Medium	1651	24.2%
High	1063	15.6%
Very_High	479	7.1%

Análise: A análise da Tabela I revela um desbalanceamento de classes significativo. Este cenário exige cautela, pois o modelo poderá apresentar uma tendência para subestimar situações de tráfego extremo em favor de classes maioritárias.

Nota: Durante a ingestão dos dados, a string “None” foi erroneamente interpretada como um valor nulo (NaN). Então, foi aplicada uma correção sistemática de mapeamento para restaurar a categoria original, garantindo que a classe fosse corretamente contabilizada.

city_name

Descrição: Nome da cidade.

Tipo: Categórica nominal.

Valores nulos: 0 (zero).

Valores únicos: 1 (um).

Análise: Considerando a existência apenas de um valor neste atributo, esta variável não tem poder preditivo e pode ser removida.

record_date

Descrição: A marca temporal associada ao registo.

Tipo: Temporal.

Formato: ‘MM/DD/YYYY HH:MM’.

Valores nulos: 0 (zero).

TABLE II
RECORD_DATE EM BRUTO

ID	record_date
0	8/29/2019 7:00
1	8/10/2018 14:00
2	9/1/2019 16:00
3	2/26/2019 11:00
4	6/6/2019 12:00

Análise: Embora a variável forneça o contexto temporal exato de cada observação, o seu formato bruto não é diretamente interpretável pela maioria dos algoritmos de aprendizagem. No entanto, possui uma elevada relevância preditiva latente.

AVERAGE_FREE_FLOW_SPEED

Descrição: O valor médio da velocidade máxima que os carros podem atingir em cenários sem trânsito.

Tipo: Numérica contínua.

Valores nulos: 0 (zero).

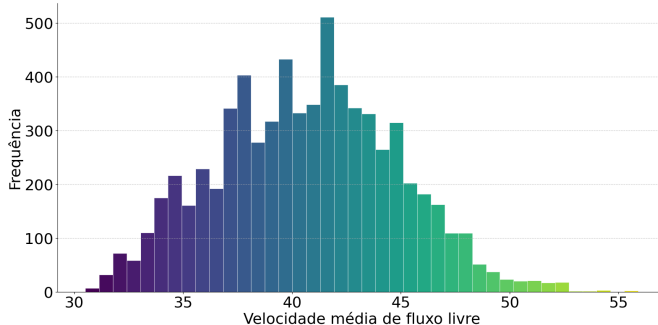


Fig. 2. Distribuição da velocidade de fluxo livre

Análise: A Fig. 2 mostra uma distribuição saudável da velocidade de fluxo livre, com média em torno de 40,7 km/h. A presença de valores acima de 50 km/h é minoritária, sugerindo que a amostra inclui algumas vias de maior capacidade onde os limites de velocidade são superiores ao padrão urbano ou a velocidade praticada pelos condutores excede o limite legal estabelecido para a via.

AVERAGE_FREE_FLOW_TIME

Descrição: O valor médio do tempo que demora a percorrer um determinado conjunto de ruas quando não há trânsito.

Tipo: Numérica contínua.

Valores nulos: 0 (zero).

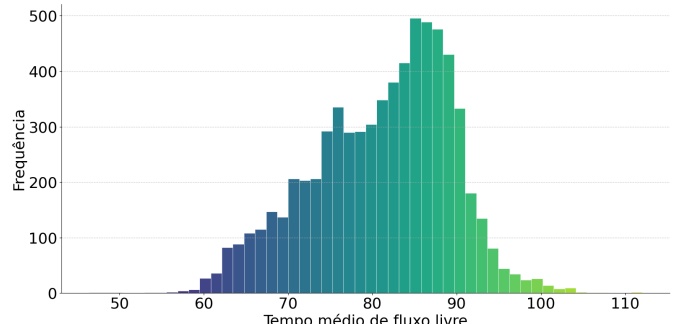


Fig. 3. Distribuição do tempo de fluxo livre

Análise: Na Fig. 3 os dados apresentam uma média de 81,1s e uma ligeira assimetria negativa, refletindo uma maior densidade de segmentos com tempos de percurso próximos ao limite superior.

AVERAGE_TIME_DIFF

Descrição: O valor médio da diferença do tempo que se demora a percorrer um determinado conjunto de ruas sem trânsito e com o trânsito atual.

Tipo: Numérica contínua.

Valores nulos: 0 (zero).

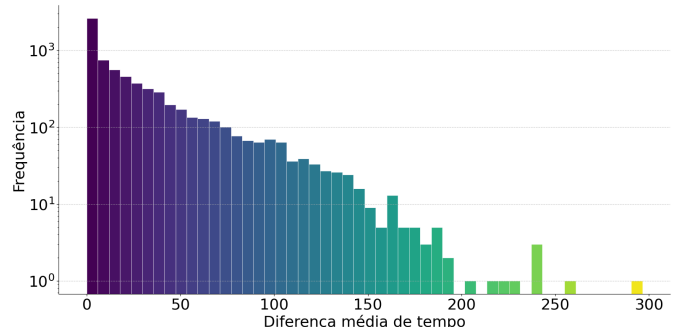


Fig. 4. Distribuição da diferença média de tempo

Análise: A Fig. 4 revela uma distribuição com forte assimetria positiva, onde a grande maioria das observações se concentra próximo de zero, indicando condições de fluxo livre. A utilização de uma escala logarítmica no eixo da frequência permite visualizar a “cauda longa” que se estende até aos 300 segundos, representando episódios de congestionamento severo. Pela sua natureza, esta variável é o principal indicador físico dos atrasos que definem as categorias da variável dependente.

LUMINOSITY

Descrição: O nível de luminosidade.

Tipo: Categórica ordinal.

Valores nulos: 0 (zero).

Valores únicos: 3 (três).

TABLE III
QUANTIFICAÇÃO LUMINOSITY

Categoria	Frequência	Percentagem
LIGHT	3293	48,3%
DARK	3253	47,8%
LOW_LIGHT	266	3,9%

Análise: Observando a distribuição da variável, é visível que o valor único ‘LOW_LIGHT’ tem baixa representação, o que poderá levar a uma dificuldade na previsão onde este caso está presente.

AVERAGE_TEMPERATURE

Descrição: Valor médio da temperatura.

Tipo: Numérica contínua.

Valores nulos: 0 (zero).

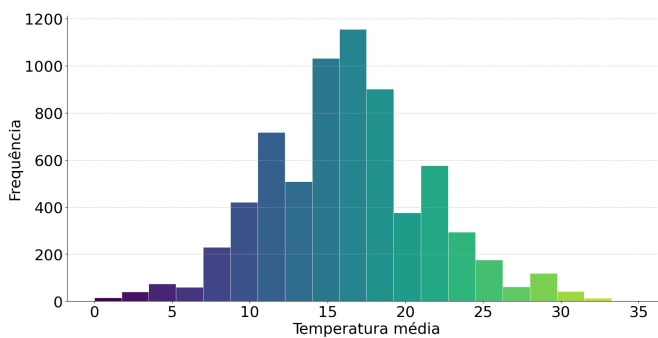


Fig. 5. Distribuição da temperatura média

Análise: A Fig. 5 apresenta uma distribuição aproximadamente normal, com maior concentração de registo por volta dos 16°C. A amplitude térmica observada é plenamente consistente com o clima temperado da cidade do Porto ao longo do ano.

AVERAGE_ATMOSP_PRESSURE

Descrição: Valor médio da pressão atmosférica.

Tipo: Numérica contínua.

Valores nulos: 0 (zero).

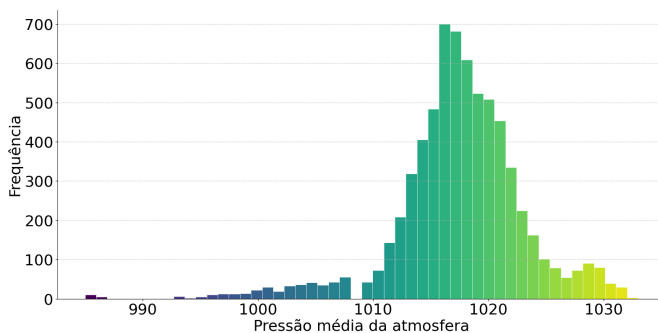


Fig. 6. Distribuição da pressão média da atmosfera

Análise: A Fig. 6 caracteriza-se como uma distribuição leptocúrtica e média de 1017,4 hPa. A elevada concentração em torno da mediana sugere que a pressão atua como um indicador de estabilidade ambiental, onde apenas as quedas

bruscas podem sinalizar eventos climáticos com impacto indireto na condução.

AVERAGE_HUMIDITY

Descrição: Valor médio de humidade.

Tipo: Numérica contínua.

Valores nulos: 0 (zero).

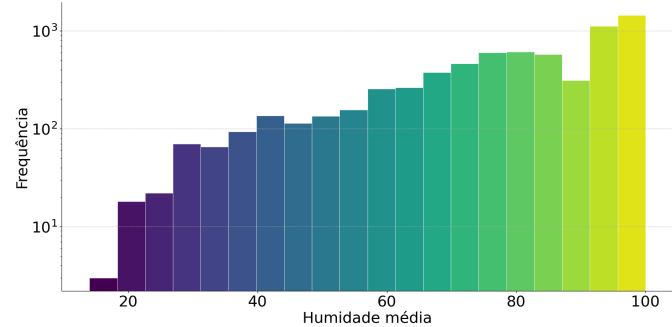


Fig. 7. Distribuição da humidade média

Análise: A Fig. 7 revela um acentuado enviesamento para altas concentrações. Para a modelação, esta variável poderá atuar como um indicador de condições de saturação, embora a sua reduzida variância na maioria dos registos sugira um papel de suporte em vez de um preditor linear primário.

AVERAGE_WIND_SPEED

Descrição: Valor médio da velocidade do vento.

Tipo: Numérica contínua.

Valores nulos: 0 (zero).

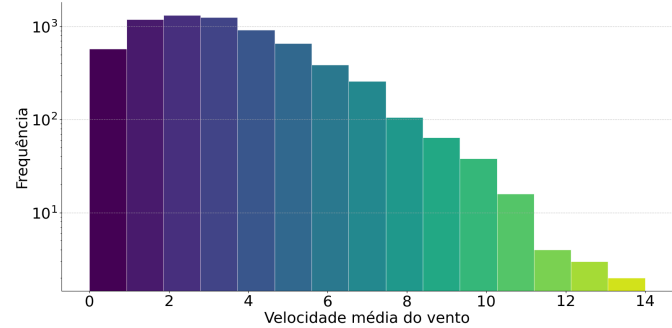


Fig. 8. Distribuição da velocidade média do vento

Análise: A Fig. 8 exibe uma distribuição com forte assimetria positiva, concentrando a massa de dados em velocidades reduzidas. Estatisticamente, esta variável atua como um indicador de condições climáticas adversas.

AVERAGE_CLOUDINESS

Descrição: O valor médio da percentagem de nuvens.

Tipo: Categórica ordinal.

Valores únicos: 9 (nove).

TABLE IV
QUANTIFICAÇÃO AVERAGE_CLOUDINESS

Categoria	Frequência	Percentagem
céu limpo	153	3.70%
céu claro	1582	38.31%
algumas nuvens	422	10.22%
nuvens dispersas	459	11.11%
nuvens quebradas	416	10.07%
nuvens quebrados	448	10.85%
céu pouco nublado	516	12.49%
tempo nublado	67	1.62%
nublado	67	1.62%

Valores nulos: 2682 (dois mil seiscentos e oitenta e dois).

TABLE V
AVERAGE_CLOUDINESS EM BRUTO

ID	AVERAGE_CLOUDINESS
15	nuvens quebrados
16	
17	NULL
18	nuvens quebrados
19	algumas nuvens

Análise: A tabela de dados em bruto revela que estes valores em falta não são uniformes, manifestando-se de duas formas distintas:

- String vazia
- NULL

Além deste problema de dados em falta, identifica-se a necessidade de limpeza nas categorias, que por vezes são redundantes.

AVERAGE_PRECIPITATION

Descrição: Valor médio de precipitação.

Tipo: Numérica contínua.

Valores únicos: 1 (um).

Valores nulos: 0 (zero).

Análise: Sendo um valor constante, esta *feature* não tem poder preditivo e pode ser removida.

AVERAGE_RAIN

Descrição: Avaliação qualitativa do nível de precipitação.

Tipo: Categórica ordinal.

Valores únicos: 13 (treze)

TABLE VI
QUANTIFICAÇÃO AVERAGE_RAIN

Categoria	Frequência	Percentagem
chuva fraca	261	46.36%
chuva moderada	153	27.17%
chuva leve	45	7.99%
aguaceiros fracos	38	6.74%
chuva	30	5.32%
aguaceiros	11	1.95%
chuva forte	8	1.42%
trovoadas com chuva leve	7	1.24%
chuvisco fraco	5	0.88%
chuva de intensidade pesada	2	0.35%
chuva de intensidade pesada	1	0.17%
trovoadas com chuva	1	0.17%
chuvisco e chuva fraca	1	0.17%

Valores nulos: 6249 (seis mil duzentos e quarenta e nove)

TABLE VII
AVERAGE_RAIN EM BRUTO

ID	AVERAGE_RAIN
11	NULL
12	
13	NULL
14	chuva fraca
15	

Análise: A tabela de dados em bruto revela que estes valores em falta não são uniformes, manifestando-se novamente de duas formas distintas:

- String vazia
- NULL

Além deste problema de dados em falta, não temos uma categoria com ausência de chuva e também se identifica categorias redundantes.

C. Análise Multivariada

Nesta etapa, a análise foca-se na interação entre as múltiplas variáveis do conjunto de dados, procurando identificar redundâncias, dependências não lineares e, fundamentalmente, determinar o poder preditivo dos atributos em relação à variável alvo. Esta análise é crucial para validar se as variáveis independentes oferecem separabilidade suficiente para os algoritmos de classificação.

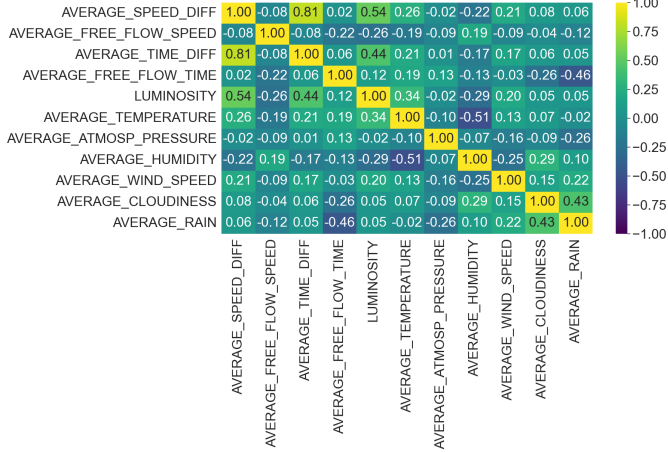


Fig. 9. Matriz de correlação linear entre variáveis numéricas

A matriz de correlação permite quantificar a força das relações lineares. O destaque imediato é a correlação positiva muito forte 0.81 entre **AVERAGE_TIME_DIFF** e **AVERAGE_SPEED_DIFF**. Do ponto de vista físico, este resultado é intuitivo: o atraso temporal acumulado num segmento rodoviário é o reflexo direto da redução da velocidade média. No entanto, o facto de a correlação não ser perfeita indica que a classificação final não depende apenas de um limiar fixo de tempo, mas sofre influência da interação com outras variáveis.

Observa-se ainda uma multicolinearidade moderada entre variáveis ambientais, como a relação inversa entre **AVERAGE_TEMPERATURE** e **AVERAGE_HUMIDITY**, -0.51. Este fenómeno sugere que, para modelos sensíveis à correlação entre preditores, a inclusão de ambos os atributos pode ser redundante. Por outro lado, a correlação de 0.54 entre a **LUMINOSITY** e **AVERAGE_SPEED_DIFF** reforça que a visibilidade e o ciclo horário são determinantes no comportamento dos condutores.

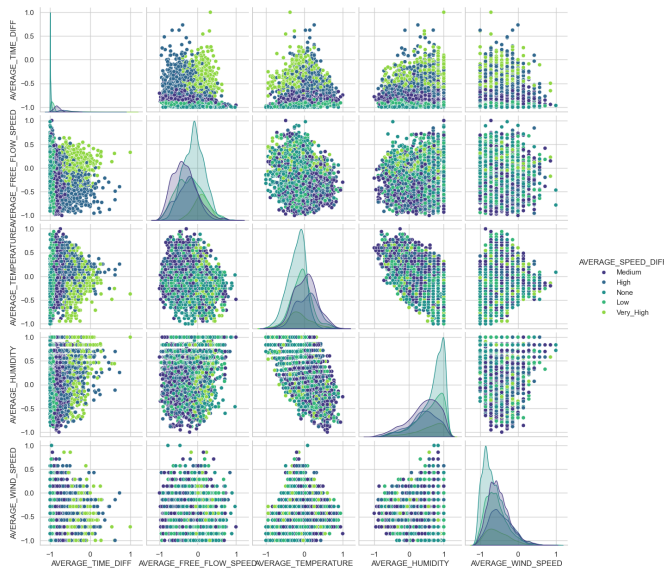


Fig. 10. Distribuição conjunta e separação de classes

A Fig. 10 confirma visualmente a supremacia da **AVERAGE_TIME_DIFF**. Enquanto os atributos meteorológicos resultam em “nuvens” de pontos sobrepostas, a diferença de tempo permite uma separação clara das aglomerações por classe.

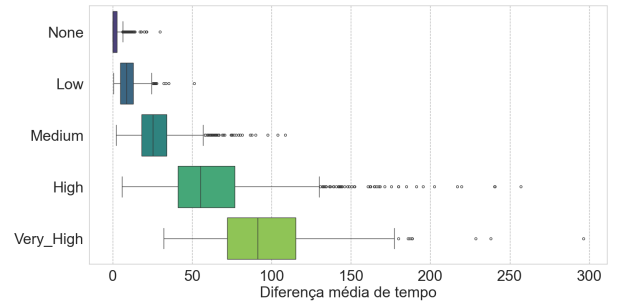


Fig. 11. Relação ordinal entre o atraso temporal e a gravidade do tráfego

O rigor desta relação é detalhado na Fig. 11. Observa-se uma progressão estritamente crescente das medianas e da amplitude interquartil à medida que a classe de tráfego se agrava.

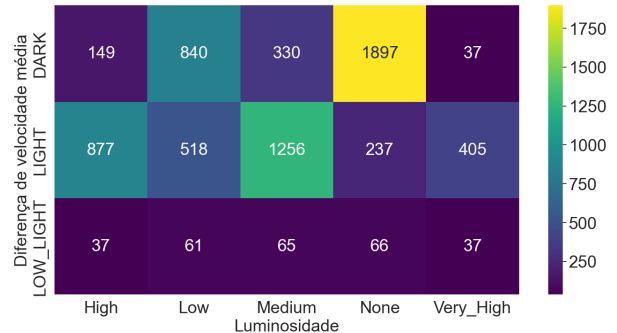


Fig. 12. Influência da luminosidade no estado do tráfego

Por fim, a Fig. 12 permite inferir padrões de comportamento humano. A predominância da classe “None” durante o período “DARK” é consistente com o fluxo livre esperado durante a noite e madrugada. Inversamente, as condições de “Medium” e “High” tráfego concentram-se esmagadoramente no período “LIGHT”, coincidindo com o horário laboral e escolar.

IV. PREPARAÇÃO DOS DADOS

O objetivo primordial desta fase é maximizar o potencial preditivo dos dados disponíveis, garantindo a sua consistência e relevância. Mais do que uma etapa técnica de limpeza e correção de erros, trata-se de um processo de refinamento que impacta diretamente a fiabilidade dos resultados finais. Através de técnicas de *feature engineering* e seleção criteriosa de variáveis, procura-se entregar aos algoritmos um conjunto de dados otimizado, reduzindo o risco de *overfitting* e assegurando uma utilização eficiente dos recursos do projeto.

A. Remoção de atributos

Numa fase inicial, procedeu-se à redução de dimensão e na garantia da integridade da variável alvo. Na

etapa anterior, verificou-se que os atributos **city_name** e **AVERAGE_PRECIPITATION** possuíam variância nula, contendo um valor constante para todas as observações. A ausência de variabilidade implica ausência de informação discriminativa para o modelo, estas variáveis foram removidas do conjunto de dados.

B. Codificação de variáveis categóricas

A maioria dos algoritmos de *Machine Learning* requer que os dados de entrada sejam estritamente numéricos. Como identificado na análise exploratória, diversas variáveis, incluindo a variável alvo, apresentam-se em formato de texto.

Dada a natureza ordinal destas variáveis — onde existe uma hierarquia clara entre as classes — optou-se pela técnica de *Label Encoding* em detrimento do *One-Hot Encoding*. Esta abordagem preserva a relação de ordem intrínseca dos dados e evita o aumento desnecessário da dimensionalidade do *dataset*.

Procedeu-se aos seguintes mapeamentos numéricos:

- **AVERAGE_SPEED_DIFF:** A variável foi codificada numa escala de 0 a 4, refletindo a gravidade do congestionamento.
 - None → 0
 - Low → 1
 - Medium → 2
 - High → 3
 - Very_High → 4
- **LUMINOSITY:** Codificada de forma a refletir a intensidade da luz, facilitando a correlação positiva com a visibilidade.
 - DARK → 0
 - LOW_LIGHT → 1
 - LIGHT → 2

As restantes variáveis categóricas, nomeadamente **AVERAGE_CLOUDINESS** e **AVERAGE_RAIN**, exigiram tratamentos mais complexos de limpeza e imputação antes da sua codificação, processos que são detalhados na subsecção de tratamento de valores em falta.

C. Feature engineering

Reconhecendo a forte componente temporal do tráfego, a variável **record_date** foi decomposta para capturar padrões sazonais e diários em múltiplas escalas. Foram extraídos os seguintes atributos temporais:

- **Ano (year) e mês (month):** Para capturar tendências de longo prazo e sazonalidade anual.
- **Semana do ano (week) e dia do ano (dayofyear):** Para identificar padrões infra-anuais mais granulares.
- **Dia da semana (dayofweek):** Para distinguir padrões entre dias úteis e fins de semana.
- **Hora (hour):** Para capturar a variação diária do tráfego.

Contudo, a representação linear da hora é problemática para algoritmos de regressão e redes neurais, porque ignora a continuidade temporal entre as 23h00 e as 00h00. Para resolver isto, a hora foi projetada num espaço circular através de transformações trigonométricas [1], criando duas novas *features*:

$$\text{hour_sin} = \sin\left(\frac{2\pi \cdot \text{hour}}{24}\right) \quad (1)$$

$$\text{hour_cos} = \cos\left(\frac{2\pi \cdot \text{hour}}{24}\right) \quad (2)$$

Esta transformação garante que a proximidade temporal é preservada matematicamente. Após a extração destas características, a variável original **record_date** e **hour** foram removidas do conjunto de dados.

D. Tratamento de valores em falta

A gestão de valores em falta é uma etapa crítica no pré-processamento, uma vez que a simples remoção de registos incompletos pode introduzir viés de seleção e reduzir significativamente o tamanho da amostra. A análise exploratória identificou três cenários distintos que exigiram abordagens específicas:

a) Correção de *parsing*: O **AVERAGE_SPEED_DIFF** apresentava valores nulos que, após inspeção cruzada com os dados originais, foram identificados como erros de leitura. A categoria textual “None”, indicativa de fluxo normal, foi incorretamente convertida para valor nulo durante a ingestão dos dados. Procedeu-se à reversão destes valores para a categoria “None”. A exclusão destes registo teria sido prejudicial ao modelo, pois eliminaria 32.3% dos dados (Tabela I), removendo especificamente os exemplos que representam condições normais de trânsito.

b) Tratamento do **AVERAGE_RAIN**: Esta variável apresentava três desafios, a elevada taxa de valores nulos, a ausência de uma categoria explícita para “sem chuva” e redundância semântica nas suas 13 categorias. A estratégia adotada consistiu em:

- 1) **Inferência:** A análise de padrões nos ficheiros em bruto (.csv) permitiu deduzir que os valores NULL correspondiam, na sua maioria, a ausência de registo pluviométrico. Assim, estes valores foram convertidos para a categoria “sem chuva”.
- 2) **Binning:** Devido ao severo desbalanceamento de classes e à redundância entre termos, optou-se por simplificar a granularidade da variável. As categorias foram agrupadas numa variável binária: “Sem Chuva” (0) e “Com Chuva” (1). Esta redução de dimensionalidade foca-se no impacto macroscópico da precipitação, ignorando nuances de intensidade que, dada a elevada taxa de valores em falta, poderiam introduzir ruído e incerteza adicionais no modelo.
- 3) **Imputação:** Para o preenchimento dos valores em falta, foi realizado um estudo comparativo envolvendo a imputação pela moda estatística, previsão através de algoritmos de *Machine Learning* e propagação temporal. Embora tecnicamente viável, a utilização de modelos de *Machine Learning* para a imputação foi descartada após análise dos resultados preliminares, pois verificou-se que estes introduziam um viés (bias) considerável nos dados, distorcendo a distribuição original. A moda estatística, por sua vez, revelou-se demasiado simplista. Consequentemente, optou-se pelo método de *Forward*

Fill. Esta técnica, ao propagar o último estado conhecido, respeita a continuidade temporal dos fenómenos meteorológicos sem impor o viés artificial dos modelos preditivos.

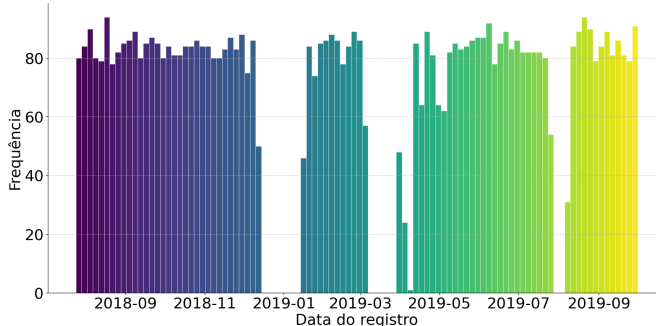


Fig. 13. Frequência temporal

Embora a descontinuidade temporal evidenciada na Fig. 13 comprometa a integridade sequencial, a adoção do *Forward Fill* justifica-se como uma aproximação conservadora, pressupondo a persistência do estado meteorológico durante os hiatos de registo.

c) Tratamento do **AVERAGE_CLOUDINESS**: Diferente da precipitação, a ausência de dados na nebulosidade representa uma lacuna real de informação.

- 1) **Binning:** As 9 categorias originais apresentavam redundância semântica e inconsistências de formatação. Para corrigir a dispersão, as categorias foram agrupadas em 3 classes ordinais representativas da densidade da cobertura, “Céu limpo” (0), “Céu parcialmente limpo” (1) e “Céu nublado” (2). Esta simplificação permitiu eliminar o ruído provocado por distinções sutis entre termos sinônimos.
- 2) **Imputação:** Segundo a metodologia aplicada no **AVERAGE_RAIN**, foram testadas abordagens baseadas em *Machine Learning* e na moda. Novamente, a imputação via ML foi rejeitada devido ao viés introduzido nas previsões, que comprometia a integridade estatística da variável. A escolha recaiu sobre o *Forward Fill*, validada pela natureza gradual da evolução da cobertura de nuvens. Esta abordagem provou ser a mais robusta, preservando a coerência sequencial dos dados meteorológicos e evitando as distorções observadas com os outros métodos.

E. Normalização e tratamento de outliers

Relativamente aos *outliers* detetados na etapa anterior, nomeadamente em **AVERAGE_TIME_DIFF**, optou-se pela sua manutenção. Em contexto de tráfego, estes valores extremos representam frequentemente eventos reais de congestionamento severo ou acidentes, constituindo informação crítica que o modelo deve ser capaz de prever, e não ruído a eliminar.

A análise multivariada revelou que as variáveis possuem escalas muito distintas. Para garantir a convergência eficiente de algoritmos baseados em gradiente e distâncias, aplicou-se o

Min-Max Scaling, normalizando todas as variáveis numéricas para o intervalo [0, 1].

F. Balanceamento dos dados

A análise da distribuição do **AVERAGE_SPEED_DIFF** (Tabela I) evidenciou um desequilíbrio severo, onde a classe maioritária possui cerca de 4,5 vezes mais registos que a classe minoritária. Sem intervenção, os modelos de aprendizagem tendem a enviesar as previsões para as classes frequentes.

Para mitigar este problema, adotou-se uma estratégia combinada de validação e *oversampling*:

- **Validação Stratified K-Fold:** Esta técnica assegura que cada subconjunto de dados mantém a proporção original das classes. Isto foi fundamental para garantir que as métricas de avaliação fossem fiáveis e representativas de todas as categorias de tráfego [2].
- **Oversampling com SMOTE:** O SMOTE (*Synthetic Minority Over-sampling Technique*), ao contrário da simples duplicação de registos, gera novos exemplos sintéticos nos *folds* de treino através da interpolação linear entre vizinhos próximos da classe minoritária. Deste modo, é possível lidar com o desequilíbrio e aumentar a representatividade destas classes, conduzindo a uma melhoria no desempenho dos modelos preditivos e à redução do viés [3].

G. Seleção de atributos

A elevada dimensionalidade impõe desafios significativos, nomeadamente o aumento do custo computacional e o risco de *overfitting*. Para identificar o subconjunto de variáveis que maximiza a performance preditiva sem introduzir ruído, realizou-se um estudo comparativo utilizando três abordagens distintas de seleção e redução de dimensionalidade:

a) Análise de componentes principais: *Principal Component Analysis* (PCA) é uma técnica não-supervisionada para reduzir a dimensionalidade através da projeção dos dados em componentes ortogonais. Embora tenha sido eficaz na compressão da variância e na eliminação de multicolinearidade, resultou na perda de interpretabilidade semântica das variáveis, dificultando a compreensão física dos fatores que causam o tráfego.

b) Otimização via *Particle Swarm Optimization*: Implementou-se uma abordagem meta-heurística utilizando o algoritmo PSO adaptado para seleção de *features*. Neste método, cada “partícula” representou um subconjunto candidato de atributos, e a *fitness function* foi o desempenho do modelo. O PSO permitiu explorar o espaço de combinações de forma eficiente, procurando ótimos globais [4].

Contudo, a viabilidade desta abordagem foi severamente comprometida pelo custo computacional, particularmente quando o algoritmo foi acoplado a uma estratégia de *Grid Search* para a otimização de hiperparâmetros. Como cada avaliação da função de *fitness* de uma partícula exigia o treino e validação cruzada de um modelo, o processo resultou numa explosão combinatória do tempo de execução, tornando a pesquisa inviável para iterações rápidas de desenvolvimento.

- c) Eliminação Iterativa com *Feature Importance*:

Por fim, implementou-se um procedimento manual de eliminação iterativa de variáveis (*Manual Backward Elimination*). Esta abordagem consistiu nos seguintes passos:

- 1) Treinar o modelo com o conjunto de variáveis atual.
- 2) Calcular a importância global de cada atributo através da *Feature Importance*, utilizando *Mean Decrease in Impurity* (para modelos baseados em árvores) e *Permutation Importance* (para modelos agnósticos ou lineares).
- 3) Identificar e remover a variável com a menor contribuição relativa.
- 4) Repetir o ciclo, reavaliando a performance do modelo a cada iteração, até que a remoção de variáveis começasse a degradar significativamente o desempenho.

Esta última abordagem revelou-se a mais robusta, permitindo não só reduzir a complexidade do modelo, mas também validar as hipóteses de negócio, mostrando quais são os preditores dominantes.

V. MODELAÇÃO

Nesta secção, descrevem-se as arquiteturas dos algoritmos selecionados e as estratégias de treino adotadas. A aplicação de *Grid Search* para a otimização de hiperparâmetros foi utilizada nos modelos de referência e métodos de *ensemble*, assegurando a escolha da melhor configuração dentro do espaço de pesquisa definido; contudo, esta técnica não foi aplicada às arquiteturas de *Deep Learning* e aos modelos especialistas. A abordagem seguiu uma complexidade incremental: iniciou-se com modelos de referência interpretáveis, progrediu-se para métodos de *ensemble* e as referidas arquiteturas avançadas, e culminou-se numa estratégia de *Stacking* para a integração final das previsões.

A. Decision Tree

Como ponto de partida, utilizou-se uma árvore de decisão que, pela sua natureza, permite uma interpretação direta das regras inferidas a partir das *features* de tráfego. Embora propensas a *overfitting*, as árvores servem como *baseline* para aferir o ganho de performance obtido com modelos mais complexos.

Na fase de configuração, e em consonância com o método iterativo de seleção de atributos, o treino foi restringido às variáveis com maior poder discriminante. Consequentemente, foram removidas do conjunto de dados as colunas **year**, **LUMINOSITY**, **AVERAGE_RAIN** e **AVERAGE_CLOUDINESS**. A configuração final obtida foi:

- `criterion: Gini;`
- `min_samples_split: 3;`
- `min_samples_leaf: 1;`
- `max_depth: 7.`

TABLE VIII
CLASSIFICATION REPORT DECISION TREE

	<i>precision</i>	<i>recall</i>	<i>f1-score</i>
None	0.91	0.87	0.89
Low	0.62	0.71	0.66
Medium	0.79	0.70	0.74
High	0.73	0.78	0.76
Very_High	0.77	0.82	0.79
<i>accuracy</i>			0.77
<i>macro avg</i>	0.76	0.77	0.77
<i>weighted avg</i>	0.78	0.77	0.78

B. Logistic Regression

Como complemento à abordagem baseada em árvores, implementou-se a *Logistic Regression* para estabelecer uma *baseline* linear. O objetivo principal foi verificar o comportamento de um modelo paramétrico mais simples e interpretável perante a complexidade destes dados.

No que concerne à configuração, e em linha com a estratégia de redução de dimensionalidade, procedeu-se à exclusão dos atributos com menor relevância preditiva ou redundância temporal, nomeadamente: **AVERAGE_CLOUDINESS**, **week**, **year**, **AVERAGE_RAIN**, **AVERAGE_ATMOSP_PRESSURE** e **dayofyear**.

A configuração final selecionada privilegiou a penalização L1 (Lasso) para promover a esparsidade do modelo, exigindo a utilização do optimizador `saga` para garantir a convergência:

- `C: 1;`
- `penalty: L1;`
- `solver: saga;`
- `max_iter: 2000.`

TABLE IX
CLASSIFICATION REPORT LOGISTIC REGRESSION

	<i>precision</i>	<i>recall</i>	<i>f1-score</i>
None	0.88	0.90	0.89
Low	0.62	0.70	0.66
Medium	0.81	0.72	0.76
High	0.77	0.70	0.73
Very_High	0.68	0.82	0.74
<i>accuracy</i>			0.77
<i>macro avg</i>	0.75	0.76	0.76
<i>weighted avg</i>	0.78	0.77	0.77

C. Support Vector Machine

Dando continuidade à procura de fronteiras de decisão mais complexas, implementou-se o algoritmo *Support Vector Machine* (SVM). A utilização deste modelo visou superar as limitações lineares da Regressão Logística, projetando os dados num espaço dimensional superior através do *Kernel Trick*, permitindo a separação de classes não-linealmente separáveis no espaço original.

Na fase de pré-processamento específica, identificou-se que a variável **AVERAGE_WIND_SPEED** introduzia ruído sem

contribuir significativamente para a discriminação das classes, tendo sido consequentemente removida. A otimização de hiperparâmetros revelou que um *kernel* polinomial se ajusta melhor à distribuição dos dados do que as abordagens linear. A configuração final obtida foi:

- C: 10;
- kernel: poly;
- gamma: scale.

TABLE X
CLASSIFICATION REPORT SVM

	<i>precision</i>	<i>recall</i>	<i>f1-score</i>
None	0.88	0.89	0.89
Low	0.66	0.70	0.68
Medium	0.79	0.76	0.78
High	0.75	0.71	0.73
Very_High	0.76	0.80	0.78
<i>accuracy</i>			0.79
<i>macro avg</i>	0.77	0.77	0.77
<i>weighted avg</i>	0.79	0.79	0.79

D. Random Forest

Para mitigar a tendência de *overfitting* e a elevada variância características de uma árvore de decisão isolada, avançou-se para a implementação do *Random Forest*. Este método de *ensemble*, fundamentado na técnica de *Bagging (Bootstrap Aggregating)*, constrói múltiplas árvores de decisão independentes durante a fase de treino e agrupa as suas previsões, resultando num modelo globalmente mais robusto e estável face ao ruído nos dados.

No que respeita à configuração, e mantendo a coerência com a análise de importância de variáveis, o treino foi restringido aos atributos com maior poder discriminante, excluindo-se **AVERAGE_RAIN** e **AVERAGE_CLOUDINESS**. A otimização de hiperparâmetros conduziu à seguinte configuração final:

- criterion: entropy;
- n_estimators: 120;
- max_depth: 18;
- min_samples_split: 3;
- min_samples_leaf: 1.

TABLE XI
CLASSIFICATION REPORT RANDOM FOREST

	<i>precision</i>	<i>recall</i>	<i>f1-score</i>
None	0.90	0.89	0.90
Low	0.68	0.77	0.72
Medium	0.83	0.78	0.81
High	0.80	0.78	0.79
Very_High	0.85	0.79	0.82
<i>accuracy</i>			0.81
<i>macro avg</i>	0.81	0.80	0.81
<i>weighted avg</i>	0.82	0.81	0.81

E. Gradient Boosting

Explorando uma abordagem sequencial, aplicou-se o algoritmo *Gradient Boosting*. Diferenciando-se do crescimento paralelo e independente do *Random Forest*, este método adota uma estratégia aditiva onde cada novo estimador é treinado para corrigir os erros residuais do modelo anterior. Esta técnica permite minimizar progressivamente a função de perda através do método *gradient descent*, refinando a capacidade preditiva nos casos mais complexos.

Na fase de configuração, optou-se por simplificar o espaço de características através da remoção das variáveis **AVERAGE_RAIN**, **AVERAGE_CLOUDINESS**, **year** e **LUMINOSITY**. Relativamente à otimização de hiperparâmetros, a pesquisa destacou a importância da densidade do *ensemble*, resultando na seguinte configuração final:

- n_estimators: 150

TABLE XII
CLASSIFICATION REPORT GRADIENT BOOSTING

	<i>precision</i>	<i>recall</i>	<i>f1-score</i>
None	0.91	0.90	0.90
Low	0.68	0.77	0.72
Medium	0.84	0.77	0.80
High	0.78	0.77	0.78
Very_High	0.78	0.80	0.79
<i>accuracy</i>			0.81
<i>macro avg</i>	0.80	0.80	0.80
<i>weighted avg</i>	0.82	0.81	0.81

F. XGBoost

Como evolução algorítmica, implementou-se o *XGBoost* (*Extreme Gradient Boosting*). A principal inovação deste modelo reside na introdução de termos de regularização (L1 e L2) diretamente na função objetivo, penalizando a complexidade dos estimadores para evitar *overfitting*. Esta característica, aliada a uma execução otimizada para eficiência computacional e dados esparsos, permite um controlo superior do equilíbrio entre viés e variância em comparação com o *Gradient Boosting* tradicional.

Na fase de configuração, optou-se por uma estratégia conservadora na seleção de atributos, removendo apenas a variável **AVERAGE_WIND_SPEED** por demonstrar um contributo marginal para a redução da função de perda. Relativamente aos hiperparâmetros, a otimização identificou a seguinte configuração ideal:

- max_depth: 6;
- n_estimators: 120;
- colsample_bytree: 0.8.

TABLE XIII
CLASSIFICATION REPORT XGBOOST

	<i>precision</i>	<i>recall</i>	<i>f1-score</i>
None	0.91	0.89	0.90
Low	0.68	0.77	0.72
Medium	0.84	0.78	0.81
High	0.78	0.76	0.78
Very_High	0.80	0.80	0.80
<i>accuracy</i>			0.81
<i>macro avg</i>	0.80	0.80	0.80
<i>weighted avg</i>	0.82	0.81	0.81

G. Stacking

Numa ótica de meta-aprendizagem, implementou-se a técnica de *Stacking*. A motivação para esta escolha reside na capacidade desta arquitetura de aprender os padrões de erro dos modelos individuais. Ao contrário de uma simples votação, o “meta-modelo” identifica em que cenários cada algoritmo base é mais fiável, corrigindo as suas fraquezas através das forças dos outros estimadores.

Para maximizar a diversidade de opiniões, selecionaram-se cinco algoritmos distintos para o nível base. As suas configurações foram ajustadas especificamente para este *ensemble*, permitindo uma maior complexidade individual, delegando a regularização final para o meta-modelo:

- **Random Forest:**
 - *n_estimators*: 200;
 - *max_depth*: 30.
- **Logistic Regression:**
 - *solver*: saga;
 - *penalty*: L1.
- **SVM:**
 - *kernel*: poly.
- **XGBoost:**
 - *n_estimators*: 200;
 - *max_depth*: 30;
- **Gradient Boosting:**
 - *n_estimators*: 200;
 - *max_depth*: 30.

Como “meta-modelo”, utilizou-se uma *Logistic Regression*, responsável por ponderar linearmente as probabilidades geradas pelos modelos base.

Na construção deste *ensemble*, procedeu-se à remoção das variáveis **AVERAGE_CLOUDINESS**, **AVERAGE_RAIN**, **month** e **AVERAGE_WIND_SPEED** para reduzir o ruído na agregação.

TABLE XIV
CLASSIFICATION REPORT STACKING

	<i>precision</i>	<i>recall</i>	<i>f1-score</i>
None	0.91	0.90	0.91
Low	0.70	0.75	0.73
Medium	0.82	0.81	0.82
High	0.80	0.77	0.78
Very_High	0.83	0.79	0.81
<i>accuracy</i>			0.82
<i>macro avg</i>	0.81	0.81	0.81
<i>weighted avg</i>	0.82	0.82	0.82

H. Artificial Neural Networks

Para modelar as relações não-lineares complexas inerentes aos dados de tráfego, implementou-se uma rede neuronal profunda com uma arquitetura *Feedforward*.

A arquitetura da rede foi desenhada para maximizar a capacidade de generalização e mitigar o *overfitting*, integrando múltiplas camadas de regularização:

- **Camada de Entrada:** Ajustada à dimensionalidade dos dados após o pré-processamento.
- **Camadas Ocultas:** A rede é composta por três camadas densas sequenciais:
 - **Primeira camada:** 128 neurónios e ativação *ReLU*, com regularização L2.
 - **Segunda camada:** 64 neurónios e ativação *ReLU*, com regularização L2.
 - **Terceira camada:** 32 neurónios e ativação *ReLU*.

Entre as camadas densas, foram introduzidas camadas de *BatchNormalization* para estabilizar a aprendizagem, seguidas por camadas de *Dropout* para prevenir a coadaptação dos neurónios.

- **Camada de Saída:** Composta por 5 neurónios com ativação *Softmax*, gerando a distribuição de probabilidades para as classes.

O treino foi realizado com o otimizador *Adam* (taxa de aprendizagem inicial de 0.001) e função de perda *Categorical Crossentropy*. Para otimizar o processo de aprendizagem, implementaram-se dois callbacks essenciais, *EarlyStopping*, com uma paciência de 20 épocas para interromper o treino caso a perda de validação estagnasse, e *ReduceLROnPlateau*, que reduz a taxa de aprendizagem em 50% após 3 épocas sem melhoria, permitindo um ajuste dos pesos nos mínimos locais.

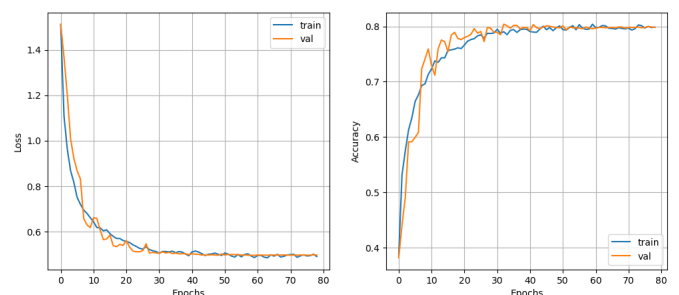


Fig. 14. Convergência das curvas de treino e validação

A Fig. 14 ilustra a evolução das métricas durante o treino. Observa-se a convergência das curvas de treino e validação, indicando que as técnicas de regularização foram eficazes em controlar o *overfitting*, mantendo a capacidade de generalização do modelo.

TABLE XV
CLASSIFICATION REPORT ARTIFICIAL NEURAL NETWORKS

	<i>precision</i>	<i>recall</i>	<i>f1-score</i>
None	0.87	0.93	0.90
Low	0.69	0.68	0.69
Medium	0.84	0.74	0.79
High	0.75	0.75	0.75
Very_High	0.72	0.86	0.79
<i>accuracy</i>			0.80
<i>macro avg</i>	0.77	0.79	0.78
<i>weighted avg</i>	0.80	0.80	0.80

I. Agentes Especialistas e Mixture of Experts

Como alternativa às abordagens de ensemble apresentadas anteriormente (como o *Random Forest* ou *XGBoost*), exploramos uma estratégia de modularização do problema recorrendo a ‘especialistas’. O objetivo destas arquiteturas foi mitigar o enviesamento provocado pelo desequilíbrio de classes já abordado, forçando o sistema a se dedicar a cada categoria de tráfego, em vez de tentar otimizar uma única função de perda global.

a) Estratégia *One-vs-Rest* com Reamostragem: Nesta primeira abordagem, o problema *multiclass* foi decomposto em cinco subproblemas binários (estratégia *One-vs-Rest*). Para cada classe de tráfego, foi treinado um “Agente Especialista” — um classificador *Random Forest* independente — com a tarefa exclusiva de distinguir se uma observação pertence à sua classe específica ou a qualquer outra. Foram utilizados os hiperparâmetros obtidos anteriormente para a *Random Forest* e as previsões foram realizadas através do grau de certeza dos modelos especialistas (a sua percentagem).

Nesta implementação foi aplicada também a técnica de *SMOTE*, assim como testadas alternativas como o *SMOTE-ENN* e *ADASYN*. Ao contrário do treino global, onde o *oversampling* tenta equilibrar todas as classes simultaneamente (o que pode gerar ruído excessivo nas fronteiras de decisão), nesta arquitetura o *SMOTE* foi aplicado individualmente dentro de cada caso binário. Isto permitiu que o especialista da classe “Very_High”, por exemplo, fosse treinado com um conjunto de dados onde essa classe minoritária tinha um peso estatístico igual à soma de todas as outras classes.

A decisão final é obtida por competição direta: as probabilidades geradas por todos os especialistas são comparadas, selecionando-se a classe cujo agente demonstra o maior grau de confiança (*argmax*).

TABLE XVI
CLASSIFICATION REPORT ONE VS REST

	<i>precision</i>	<i>recall</i>	<i>f1-score</i>
None	0.87	0.91	0.89
Low	0.70	0.70	0.70
Medium	0.79	0.76	0.77
High	0.76	0.78	0.77
Very_High	0.86	0.80	0.83
<i>accuracy</i>			0.80
<i>macro avg</i>	0.80	0.79	0.79
<i>weighted avg</i>	0.80	0.80	0.80

b) Arquitetura *Mixture of Experts* (MoE): Evoluindo a estratégia de especialistas independentes, implementou-se uma arquitetura de *Mixture of Experts* (MoE). Enquanto o *Stacking* utiliza um meta-modelo estático para combinar previsões, o MoE baseia-se no conceito de computação condicional. A arquitetura desenvolvida compõe-se por dois elementos fundamentais:

- **Experts:** são um conjunto de classificadores treinados em diferentes subconjuntos de dados rebalanceados, que desenvolvem competências locais em regiões específicas do espaço de características.
- **Gating Network:** é um modelo supervisor que não realiza a classificação final, mas sim avalia o contexto de entrada e decide qual o perito mais competente para lidar com aquele cenário específico.

Deste modo, a previsão final não é uma média democrática, como no caso anterior, mas uma soma ponderada dinâmica. Para cada nova observação, a Rede de Controlo atribui pesos diferentes a cada perito. Isto permite que o modelo confie mais num perito treinado para detetar tráfego intenso quando os dados sugerem horas de ponta, e noutro perito para tráfego leve durante a madrugada, entre outros possíveis casos.

TABLE XVII
CLASSIFICATION REPORT MoE

	<i>precision</i>	<i>recall</i>	<i>f1-score</i>
None	0.88	0.90	0.89
Low	0.67	0.72	0.69
Medium	0.78	0.72	0.75
High	0.76	0.75	0.75
Very_High	0.87	0.82	0.84
<i>accuracy</i>			0.79
<i>macro avg</i>	0.79	0.78	0.78
<i>weighted avg</i>	0.79	0.79	0.79

VI. RESULTADOS E AVALIAÇÃO

Nesta secção, detalha-se o desempenho dos modelos desenvolvidos. A análise não se restringe apenas à métrica global de *accuracy*, aprofundando-se na interpretabilidade das decisões, na capacidade de generalização e no impacto do desequilíbrio das classes nos erros de previsão.

A. Performance Global

A Tabela XVIII sumariza o desempenho dos modelos no conjunto de teste local. A ordenação decrescente pela *accuracy* evidencia a evolução da capacidade preditiva à medida que a complexidade da arquitetura aumenta, complementada pela análise do *f1-score* para ponderar o desequilíbrio de classes.

TABLE XVIII
COMPARATIVO DE PERFORMANCE GLOBAL

Modelo	<i>accuracy</i>	<i>f1-score</i>
Stacking	0.82	0.82
XGBoost	0.81	0.81
Random Forest	0.81	0.81
Gradient Boosting	0.81	0.81
ANN	0.80	0.80
1vRest	0.80	0.80
SVM	0.79	0.79
MoE	0.79	0.79
Logistic Regression	0.77	0.77
Decision Tree	0.77	0.78

B. Análise de ensembles e arquiteturas

A análise comparativa dos resultados evidencia uma clara hierarquia de desempenho, validando a premissa de que a combinação de múltiplos estimadores supera modelos isolados. Enquanto arquiteturas singulares, como a *Decision Tree* e a *Logistic Regression*, estagnaram num patamar de 77% de *accuracy*, as estratégias de agregação permitiram extrair padrões mais subtils, ultrapassando consistentemente a barreira dos 80%.

Dentro do universo dos ensembles, observa-se uma distinção qualitativa entre abordagens. Os métodos de *Bagging* e *Boosting*, embora robustos, convergiram para um teto de desempenho de 81%. Isto sugere que, apesar das suas diferenças algorítmicas, estes modelos baseados em árvores partilham enviesamentos semelhantes ao lidar com este conjunto de dados específico.

O modelo de *Stacking* destacou-se como a abordagem mais eficaz, atingindo o máximo global de 82%. A superioridade desta arquitetura reside na sua natureza heterogénea. Ao integrar as previsões de modelos com fronteiras de decisão geometricamente distintas — a linearidade da Regressão Logística, os hiperplanos multidimensionais do SVM e os cortes ortogonais dos algoritmos baseados em árvores — o *Stacking* maximizou a diversidade de informação.

O meta-modelo foi capaz de aprender a “especialização” de cada algoritmo base, ponderando qual o modelo mais fiável para cada tipo de registo. Esta capacidade de corrigir os erros residuais de um modelo com as forças de outro resultou numa generalização superior. Consequentemente, e alinhando com o objetivo estratégico de maximizar a *accuracy* para a competição, o *Stacking* foi selecionado como o modelo final deste projeto.

C. Validação e robustez

A fiabilidade da solução foi validada externamente através da competição na plataforma Kaggle. A comparação entre as métricas de validação local e os *scores* da competição revela uma elevada consistência do modelo:

- **Estimativa Local:** 0.820
- **Public Score (30%):** 0.835
- **Private Score (70%):** 0.813

Observa-se um alinhamento rigoroso entre a estimativa local e o *Private Score*. A variação mínima confirma que a estratégia de validação cruzada foi eficaz na prevenção de estimativas otimistas e que o modelo não sofreu de muito *overfitting*. O facto de o *Public Score* ser ligeiramente superior deve-se à variância estatística natural em subamostras menores, não refletindo uma discrepância estrutural.

D. Interpretabilidade do modelo

Embora o modelo de *Stacking* tenha sido selecionado como a solução final pela sua *accuracy* superior, a sua arquitetura de meta-aprendizagem introduz camadas de abstração que dificultam a extração direta da importância intrínseca de cada variável.

Para contornar esta limitação de “caixa negra”, a análise de interpretabilidade foi conduzida utilizando o *Random Forest*. Esta opção metodológica é validada assumindo-se que os padrões dominantes são partilhados pela elevada proximidade de desempenho entre os dois modelos (0.81 vs 0.82), permitindo assumir que as variáveis determinantes para o *Random Forest* são igualmente críticas para o *Stacking*.

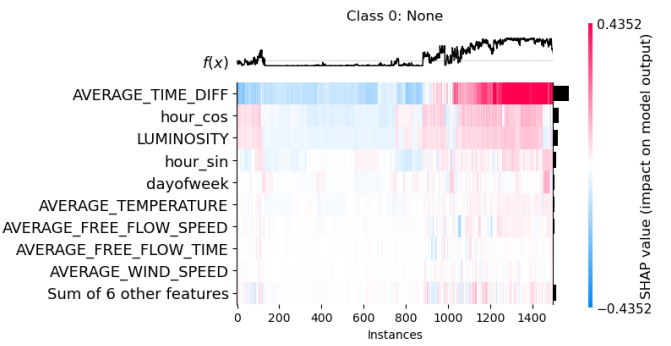


Fig. 15. Heatmaps SHAP, classe None

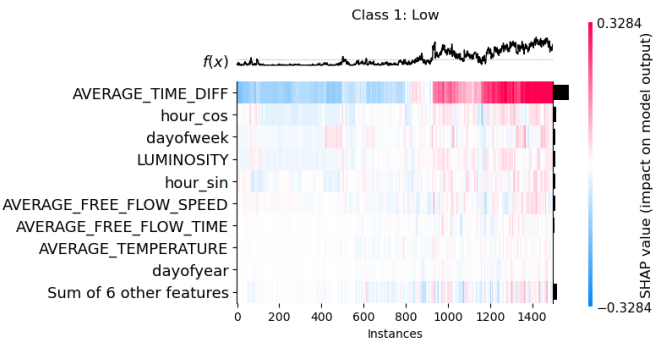


Fig. 16. Heatmaps SHAP, classe Low

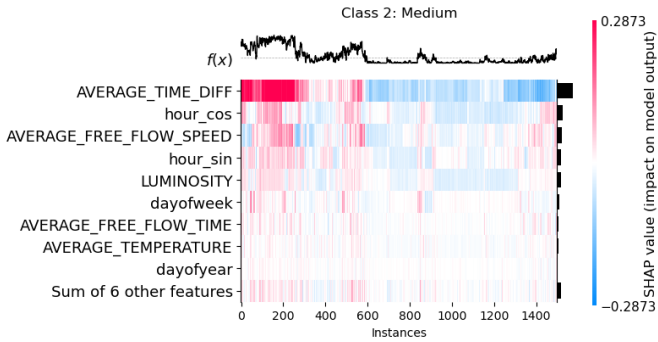


Fig. 17. Heatmaps SHAP, classe Medium

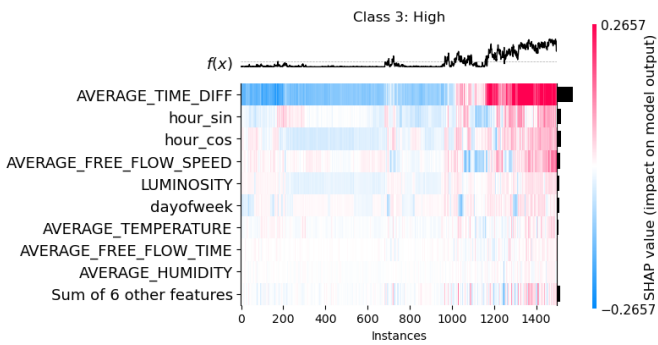


Fig. 18. Heatmaps SHAP, classe High

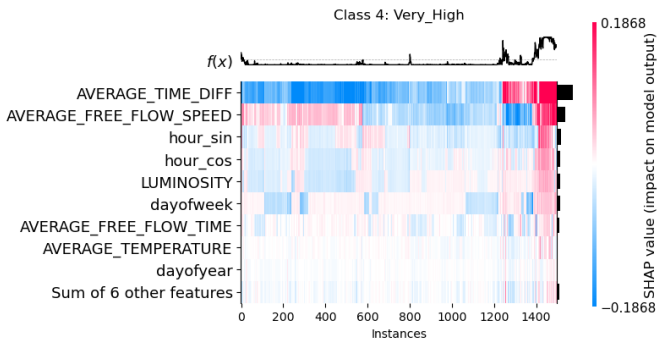


Fig. 19. Heatmaps SHAP, classe Very_High

A análise global dos valores SHAP [4] permite validar a coerência “física” do modelo através de dois pilares fundamentais:

- **Dominância Causal:** A variável **AVERAGE_TIME_DIFF** afirma-se transversalmente como o preditor dominante em todas as classes. O modelo aprendeu corretamente que a magnitude do atraso temporal é o indicador direto e quantificável da severidade do tráfego, evitando a dependência de correlações espúrias.
- **Modulação Contextual:** Para refinar as previsões, especialmente nas classes intermédias onde a fronteira de decisão é ténue, o modelo recorre a variáveis de contexto. Atributos como a hora do dia, a **LUMINOSITY** e a **AVERAGE_FREE_FLOW_SPEED** funcionam como fatores de ajuste, permitindo ao algoritmo distinguir entre congestionamentos estruturais e incidentais.

E. Análise de erros e desequilíbrio de classes

Apesar da *accuracy* de 82% indicar um modelo robusto, uma análise detalhada da matriz de confusão revela nuances críticas impostas pelo desequilíbrio das classes.

O modelo demonstra um comportamento tendencialmente conservador. Observa-se que a maioria dos erros de classificação ocorre entre classes adjacentes. Dada a natureza ordinal do problema, este tipo de erro é menos penalizador do ponto de vista prático do que erros dispersos, pois indica que o modelo consegue captar a tendência de agravamento do tráfego, falhando apenas na definição exata do limiar de intensidade.

VII. CONCLUSÃO

O presente trabalho cumpriu com sucesso o objetivo de desenvolver e validar modelos de *Machine Learning* capazes de prever o fluxo de tráfego rodoviário na cidade do Porto. Adotando a metodologia CRISP-DM, foi possível estruturar um *pipeline* robusto que abrangeu desde a limpeza complexa de dados meteorológicos até à implementação de arquiteturas de *ensemble* avançadas.

A análise comparativa permitiu identificar o *Stacking* como a abordagem mais eficaz, atingindo uma *accuracy* de 82% e demonstrando uma superioridade clara sobre os modelos individuais. A capacidade em integrar as fronteiras de decisão heterogéneas da *Logistic Regression*, SVM e algoritmos baseados em árvores revelou-se decisiva para capturar a complexidade não-linear do tráfego urbano. A consistência observada entre a validação cruzada local e os resultados obtidos na competição Kaggle corrobora a robustez da solução e a ausência de *overfitting* significativo.

Do ponto de vista da prospeção de dados, confirma-se a supremacia da variável **AVERAGE_TIME_DIFF** como o indicador determinante do estado do tráfego. A análise de interpretabilidade (SHAP) validou que o modelo alinha a sua “aprendizagem” com a realidade física: o atraso temporal define a existência do congestionamento, enquanto variáveis contextuais como a hora e a luminosidade refinam a probabilidade e a intensidade do cenário.

Não obstante os resultados positivos, o projeto enfrentou desafios, nomeadamente o severo desequilíbrio de classes. Embora mitigado através de técnicas de *Oversampling* (SMOTE) e validação estratificada, a análise de erros evidenciou uma tendência conservadora do modelo, com falhas concentradas predominantemente entre classes adjacentes.

REFERÊNCIAS

- [1] E. Lewinson, «Three Approaches to Encoding Time Information as Features for ML Models». Acedido: 6 de janeiro de 2026. [Em linha]. Disponível em: <https://developer.nvidia.com/blog/three-approaches-to-encoding-time-information-as-features-for-ml-models/>
- [2] M. Bhagat e B. Bakariya, «Implementation of Logistic Regression on Diabetic Dataset using Train-Test-Split, K-Fold and Stratified K-Fold Approach», *National Academy Science Letters*, vol. 45, n.º 5, pp. 401–404, 2022, doi: 10.1007/s40009-022-01131-9.
- [3] N. V. Chawla, K. W. Bowyer, L. O. Hall, e W. P. Kegelmeyer, «SMOTE: Synthetic Minority Over-sampling Technique», *Journal of Artificial Intelligence Research*, vol. 16, pp. 321–357, 2002, doi: 10.1613/jair.953.

- [4] M. Raquib *et al.*, «PSO-XAI: A PSO-Enhanced Explainable AI Framework for Reliable Breast Cancer Detection», *arXiv preprint arXiv:2510.20611*, 2025, [Em linha]. Disponível em: <https://arxiv.org/abs/2510.20611>